

# 喷水织机S-9型喷嘴结构的测试和分析

何岳庭 林毓秀 汪金福

(上海市纺织科学研究院)

## 一、水射流的特性分析

高压水细射流，是随着射流与喷嘴距离而逐渐变化的（见图1），大致可分为初始段 $L_A$ 、基本段 $L_B$ 和扩散段 $L_C$ 三种状态。 $L_A$ 具有匀速核心， $L_B$ 的各个水质点之间比较密实，只有此两段的射流具有携带纬丝的能力，其长度 $L$ 约为 $150\sim740d$ （ $d$ 为喷嘴口直径）。这种长度变化范围之大，说明其中必有严重影响射流集束性的因素存在。

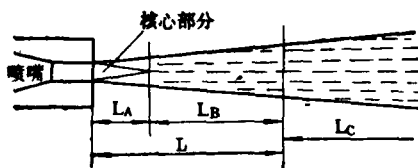


图 1

影响水射流集束性的主要因素是水流的运动状态。如水流速度高，处于紊流运动，产生“流速紊变”现象。这种紊流所引起的摩擦力与流速的平方成正比，比层流运动时的摩擦力大好几百倍，不仅导致方向、速度的改变，而且还易被空气渗入，严重影响射流的集束性。

此外，喷嘴内壁粗糙，或管道有宽窄和弯曲等也会使液体产生涡流，从而造成“流速紊变”而影响射流的集束性。

故必须使水流在未出喷嘴之前，处于非“流速紊变”状态。

## 二、S-9型喷嘴的结构和原理

S-9型喷嘴是在分析国内外部分喷水织

机、水力采煤、消防等用的喷嘴基础上，设计试制的，其结构如图2。

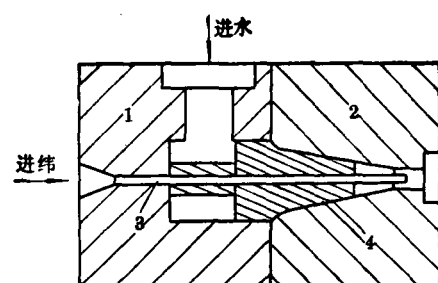


图 2 S-9型喷咀结构

1—后盖；2—喷嘴体；3—导纬管；4—元件K。

在喷嘴的零件中，后盖1和导纬管3的作用原理与一般喷嘴相同，元件K和喷嘴体主要根据下述原理设计。

### (一) 用元件K来改善流速紊变状态

从水力学可知层流到紊流的变化过程，决定于液体管道的直径、流速和液体的粘滞系数，其比值称为雷诺兹数 $R_e$ 。

$$R_e = (d \cdot V_0) / \nu$$

式中： $V_0$ ——流速； $d$ ——管道直径； $\nu$ ——液体运动粘滞系数。

由层流过渡到紊流的雷诺兹数称为临界雷诺兹数 $R_{ekp}$ ，当 $R_{ekp} > 2320$ 时，液体呈紊流状态，因此，水的临界流速为：

$$V_{kp} = (R_{ekp} \cdot \nu) / d$$

当 $d=0.45$ 厘米，水温为 $15^{\circ}\text{C}$ 时则

$$V_{kp} = \frac{2320 \times 0.0114}{0.45} = 58.8(\text{厘米}/\text{秒})$$

设喷水织机的车速为360转/分，每纬用水量为2.5克，投纬角为 $90^{\circ}$ ，则织机上的实际流速达375厘米/秒，大大高于临界流速

58.8厘米/秒，属于紊流运动。此外，在喷水织机上，从泵到喷嘴的管道中，不可避免地存在弯头和宽窄道，特别因导纬关系，一般采用垂直于射流进入喷嘴的供水系统，这就更增加了水流中的涡流和绕轴流的紊流状态，是对射流集束性不利的因素。

但从式中可看出，临界流速值与管道的直径成反比，管径越小， $V_k$ ，就越高，因此我们在喷嘴体2的内腔中，设置可分成若干细流的元件K，以大大提高 $V_{kp}$ ，从而改善紊流、涡流的状态，提高射流的集束性。

## (二) 用钟形圆锥体内腔，增加流量系数 $\mu$

从水力学的管嘴出流的理论中得知，出水管口的直径如果相同，但形态和位置的差异，会使趋向孔口水流中的诸质点之路线不一，同时在孔口平面处又因收缩各方的挤压现象也不一样，因此出孔口的流量就不相等，所以各种几何形态的管嘴有其各自的流量系数 $\mu$ 。其中以钟形圆锥管嘴的流量系数为最高，锥角以 $13^{\circ}24'$ 为最佳。因而以 $13^{\circ}24'$ 的钟形圆锥体作为S-9型喷嘴的内腔，这样可使流体在管嘴中少受束缚而更密实些，射流不易被气体渗入。

因为喷水织机需要的是平行的射流，所以在喷嘴体2的圆锥前端设一圆柱管作为导向管，此管之长度，根据前人经验，最佳值可在 $2\sim 4d$ 中选择。最前端的圆孔作保护管嘴不受碰伤之用。

## 三、测试和分析

在实验机台上用S-9型喷嘴作如下测试：

### (一) 对喷嘴的集束性测试

#### 1. 测试装置

在机架箱座处，设一个与箱座平行的固定槽钢，装上如图3所示的接水斗。测试前用闪光灯校正，使喷嘴喷出的射流中心对准接水斗孔径的中心，调换水斗前盖的孔径和

调整离喷嘴的距离，组成不同方案的聚水试验。看其在一定时间或投纬次数中接水量降低率的大小，评定喷嘴集束性的优劣。

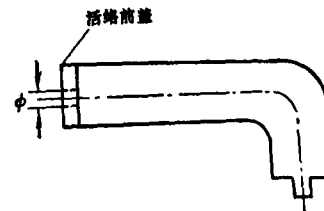


图3 接水斗示意图

### 2. 测试结果和分析

#### (1) 加元件K对集束性的试验(见表1)。

表1 接水量的比较

喷嘴	接水斗口径(毫米)		
	φ6	φ15	φ30
	接水量		
S-9型(有元件K)	23.4%	47.2%	75.8%
S-9型(无元件)	7.1%	14.1%	27.4%

注：1. 接水斗放在距喷嘴750毫米处；2. 用凸轮式喷射泵，柱塞 $\phi=20$ 毫米。

#### (2) 与双套管喷嘴集束性的试验比较(见图4)。

从表1和图3的测试证明，加放元件K的S-9型喷嘴，接水量比不放元件的喷嘴明

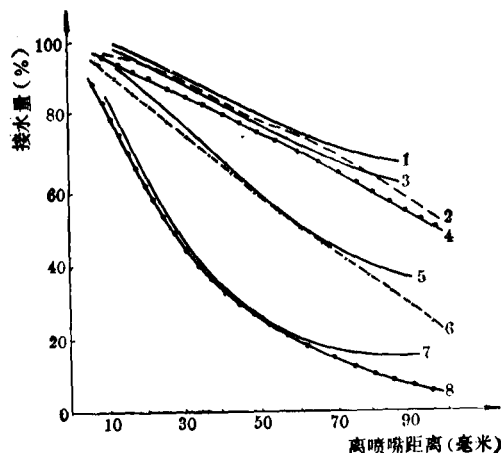


图4 实测喷嘴集束性能

- 是S-9型喷嘴曲线(有元件K)；
- ……是双套管喷嘴曲线(无元件)；
- 1、2 线的接水斗口径 $\phi=36$ 毫米；
- 3、4 线的接水斗口径 $\phi=30$ 毫米；
- 5、6 线的接水斗口径 $\phi=15$ 毫米；
- 7、8 线的接水斗口径 $\phi=6$ 毫米。

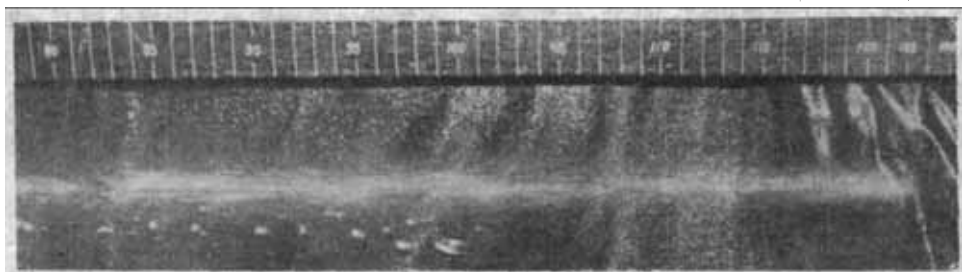


图 5 S-9 型水柱照片图

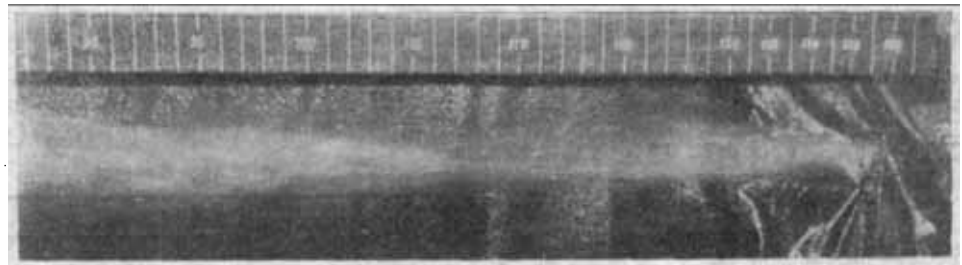


图 6 双套管型水柱照片图

显地要多，特别在接水斗口径为  $\phi 6$  毫米时相差达三倍左右，说明集束性好。从上面照片也可以看出，有元件 K 的 S-9 型喷嘴水柱，比双套管型集束性好(图 5、6)。

### (3) 加工精度对集束性的影响

表 2 表明，相同型号的喷嘴，由于加工精度的差异，影响集束性的优劣是很明显的。故在喷嘴结构选定后，加工精度是影响射流集束性的主要因素，因此在制造喷嘴零件时，必须十分重视加工精度和其同心度。

表 2 接水量的比较

喷嘴	接水斗口径(毫米)			加工精度
	$\phi 6$	$\phi 15$	$\phi 30$	
接水量(%)				
S-9型-1	6.4	18.3	40.2	导向管有痕迹
S-9型-2	5.6	14.7	37.1	导向管痕迹较深
S-9型-3	17.0	44.9	70.8	较光洁
S-9型-4	23.4	47.2	75.8	较光洁

## (二) 射流及纬丝速度的测试

### 1. 测试装置

测量射流和纬丝的速度，用观察射流和纬丝头端的位移、时间，按  $V = \Delta S / \Delta t$  计算出各点的平均速度。在织机箱座上固定一标尺，在曲轴外侧则装一与织机同步的信号装置，

作为测定时间用的标志。然后用闪光测速仪由信号装置输出电信号触发闪光灯，使与织机同步而闪光，依此来观察射流的位移。

### 2. 测试结果和分析

在其它条件相同的情况下，改变喷嘴内腔锥角来测定对射流、纬丝速度的影响和观察实际制织的效果，所得结果见表 3。

表 3 不同锥角对射流速和纬速的影响

锥角	S-4型 $30^\circ$		S-9型 $13^\circ 24'$		S-10型 $10^\circ$		
	速度	射流速	纬速	射流速	纬速	射流速	纬速
车速	400	49.3	28.8	54.96	34.93	57.26	30.93
450	54.98	32.06	61.02	36.6	62.37	35.7	
500	61.64	35.63	69.06	39.67	68.7	39.33	

注：纬丝均为 70 旦尼龙丝；车速(转/分)；速度(米/秒)。

从表 3 的射流速度看，S-10 型比 S-9 型稍高，但从纬速看，S-9 型却比 S-10 型高，故我们选择  $13^\circ 24'$  作为内腔的圆锥角。在实际制织时 S-9 型也比其它二只喷嘴要稳定。

### (三) 纬丝张力的测试

#### 1. 测试装置

用非电量电测法。

#### 2. 测试结果和分析

使用应变式电阻传感器测得的纬丝张力变化如图 7、图 8 所示。

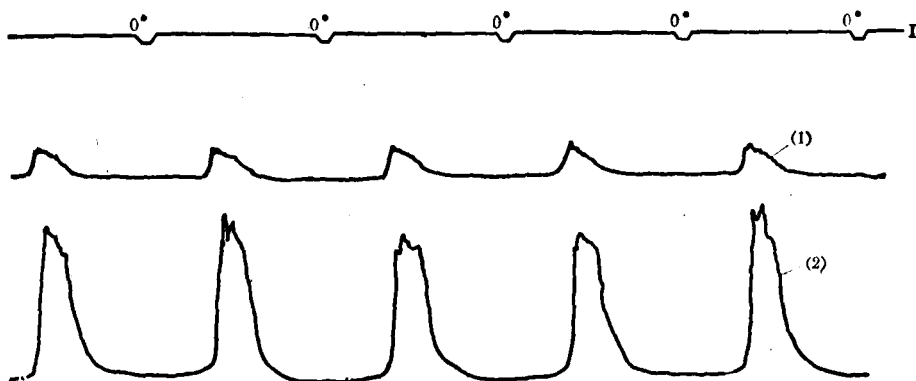


图 7 实测凸轮式喷射系统纬丝张力曲线变化图  
(1)-68 旦涤纶丝; (2)-150 旦低弹涤纶丝; I-曲轴信号;

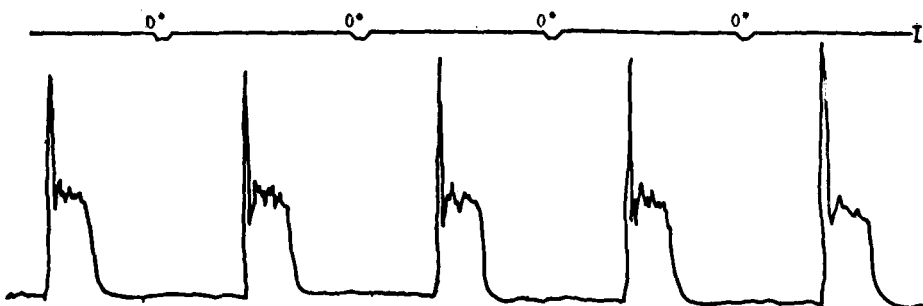


图 8 实测弹簧式喷射泵纬丝张力曲线变化图

图 7 是在相同条件下测得的, 可见其张力随原料的变化而变化。但在使用同样原料(68 旦涤纶丝)而在不同喷射系统上测得的纬丝张力就无法比拟。图 8 是在弹簧喷射系统上测得的纬丝张力, 从表面上看, 大大高于凸轮喷射系统。在实际制织时, 弹簧喷射系统容易产生小点缩纬, 这是因为纬丝张力与流速的平方呈正比, 弹簧泵压力大, 射流速度也快, 因而纬丝的张力就大。但从曲线中可看出, 纬丝的张力波动很大, 故射流速度和泵

的压力波动必然也大。目测可看到射流在离喷嘴 800 毫米左右处已呈雾状, 纬丝出现飘动状态, 引纬不稳, 出现纬缩现象, 因此单看纬丝张力的最高值是不能完全体现喷嘴优劣的。

#### 四、生产试验

用凸轮喷射泵和 S-9 型喷嘴组成的喷射系统, 装在苏州振亚丝织厂的 K641 改装喷水机上作生产试验, 与原弹簧喷射泵和双套

表 4 两种系统的对比情况

喷射系统	经、纬原料	车速 (转/分)	产 量 (米/台时)	效 率 (%)	喷射引起 停台数	水 量 (克/纬)	绸面质量	备 注
弹簧泵, 双套管喷嘴	68 旦/12 <sup>T</sup> 涤纶丝	288	4.40	81.5	7	5.50	局部有小点缩纬	一台连续测定四班
凸轮泵, S-9型喷嘴	68 旦/12 <sup>T</sup> 涤纶丝	320	5.30	88.4	0	2.95	无	一台连续测定四班
凸轮泵, S-9型喷嘴	经: 国产 68 旦涤纶 纬: 国产 150 旦低弹涤纶丝	300~320	6.78~ 7.23	94.1	0	2.95	无	四台连续测定六班 经丝采用无拈上浆

管喷嘴组成的喷射系统作对比(如表4)。

表4证明,S-9型喷嘴对提高射流集束性的效果较明显,有利于提高车速和加宽织幅。在K72-1100型改装的喷水织机上,试验车速达550转/分,在1450型织机上达300转/分,用水量可降到每纬最大2.95克。

## 五、结语

1. 用元件K进行整流和用 $13^{\circ}24'$ 钟形圆锥体内腔及注意加工精度和同心度,能明显改善集束性,有利于喷水织机高速、宽幅。

2. 集束性的好坏是评定喷嘴优劣的主要参数。射流、纬丝速度和张力,在相同条件下也能反映喷嘴的优劣,但这些参数主要依附于泵的性能,是喷射系统的综合反映(射流、纬丝速度与泵压呈平方关系,纬丝张力与流速呈二次关系,但随纬丝原料、水量等的变化而变化)。

3. 射流集束性还与凸轮曲线(水压)的配合有关,尚需作进一步的试验研究。

## 参考资料

- [1] 陈肇和,《水力学基础》;
- [2] 《高压细射流的流体力学》,煤矿机械参考资料,1976,11;
- [3] 《高压喷水切割技术》,国外科技动态,1978, No.6,32;
- [4] 《水力摩阻》,电力工业出版社;
- [5] 《工程流体力学》,上海科技出版社;
- [6] 《应变片电测技术》,机械工业出版社;
- [7] МЯ·阿尔菲雷也夫,《流体力学》;
- [8] «Weft ejection nozzle for water jet Loom», U.S.P. 3,999, 579;
- [9] «Nozzle for Jet Looms», U.S.P. 3,633,808;
- [10] «Investa», 1971, No. 2, 8-13;
- [11] «Journal of the Textile Institute», 1974, No.12, 639-658;
- [12] 《纤维机械学会志》,1978,30卷,11、12号,T197-204; T205-213(日)。

(上接第11页)

纱的阻力很小。贮纬器上隔距为1毫米,可防止纬缩。当 $60^{\circ}$ 时,位于主喷嘴和贮纬器间的压纱板,在凸轮控制下抬起,贮纬器中的纬纱在主喷嘴的气流牵引下开始飞行。当飞行到 $220^{\circ}$ 时,压纱板压下,飞行停止。测长轮送出的纬纱,又进入贮纬器中形成纱环。

## 三、小结

1. 在槽筘喷气接力引纬技术中,确保主喷嘴喷出的纬纱能顺利进入钢筘的引纬槽中,在接力气流控制下飞行,是接力引纬技术中的重要一环。如纬纱由主喷嘴至钢筘槽交接不顺利,出口侧布边处的双、脱疵点将大量发生。研究表明,要使纬纱交接顺利,最主要是要在喷纬开始时,将主喷嘴的出口风速值,降低到筘槽中接力风速的水平。为此,我们在主喷嘴的出口设计了一个扩散管,从而使出口风速与筘槽中接力气流的流速相接近,保证了纬纱头交接的顺利进行。

2. 在槽筘喷气接力引纬技术中,为使纬纱能以挺直状态飞越阔幅织口,钢筘槽中应维持较高的风速,一般应高出纱速30%以上。研究表明,筘槽中风速的高低是随供气压力和喷嘴孔径的增加而增加;是随喷嘴间距和喷嘴至槽底的隔距的增加而减小。另外喷嘴的喷气角度对槽中风速的分布影响较大,建议此角度按下列公式选择

$$\operatorname{tg} \alpha = A/L$$

式中:  $\alpha$ 为喷气角度;  $A$ 为喷嘴至槽底隔距;  $L$ 为喷嘴间距。

3. 在槽筘接力引纬技术中,若用气缸供气,应考虑多缸配置。这样,可为纬纱提供较长的供气时间,有助于获得较宽的筘幅和较高的引纬速度。